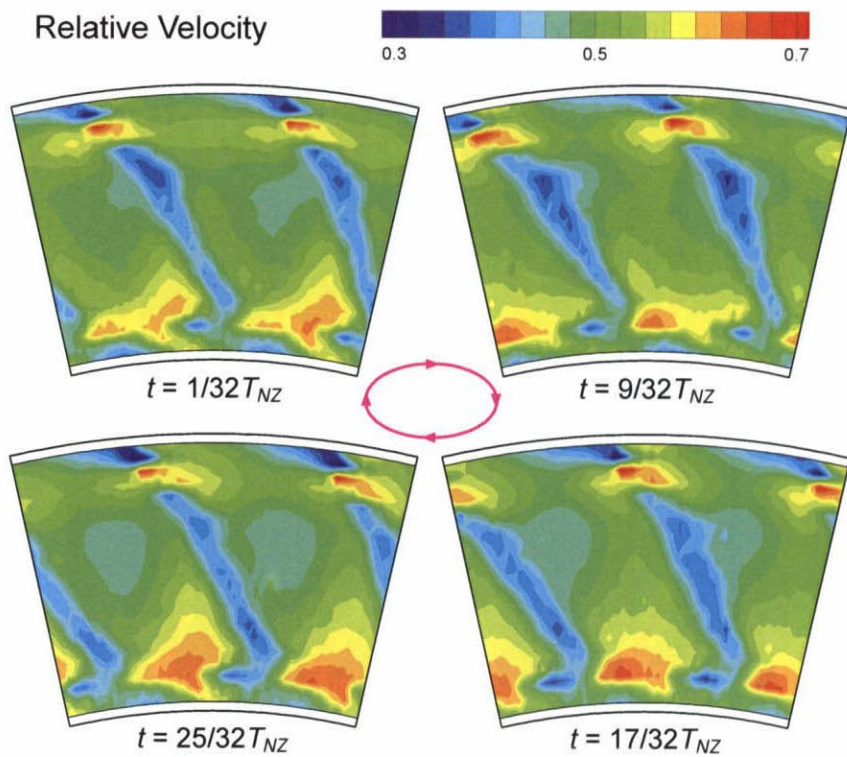


(a) 測定位置



(b) 相対速度  $V_{Rel}/V_0$

図 8.7 静翼出口，動翼入口の非定常流れ（相対座標系，その1）  
（測定面 5，軸方向位置  $Z/C_{ax,RT} = -0.303$ ）

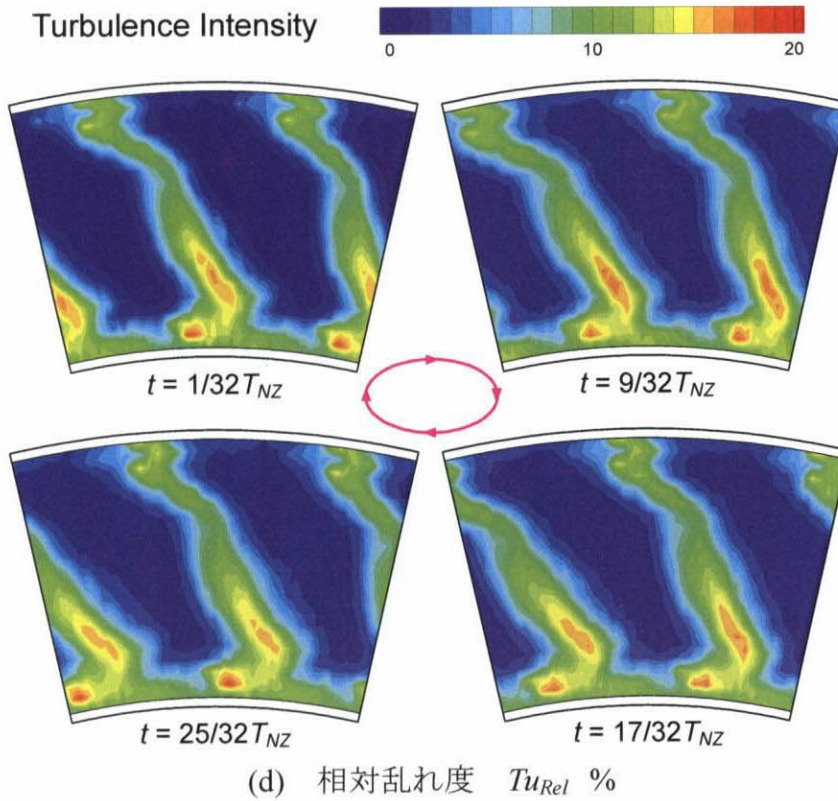
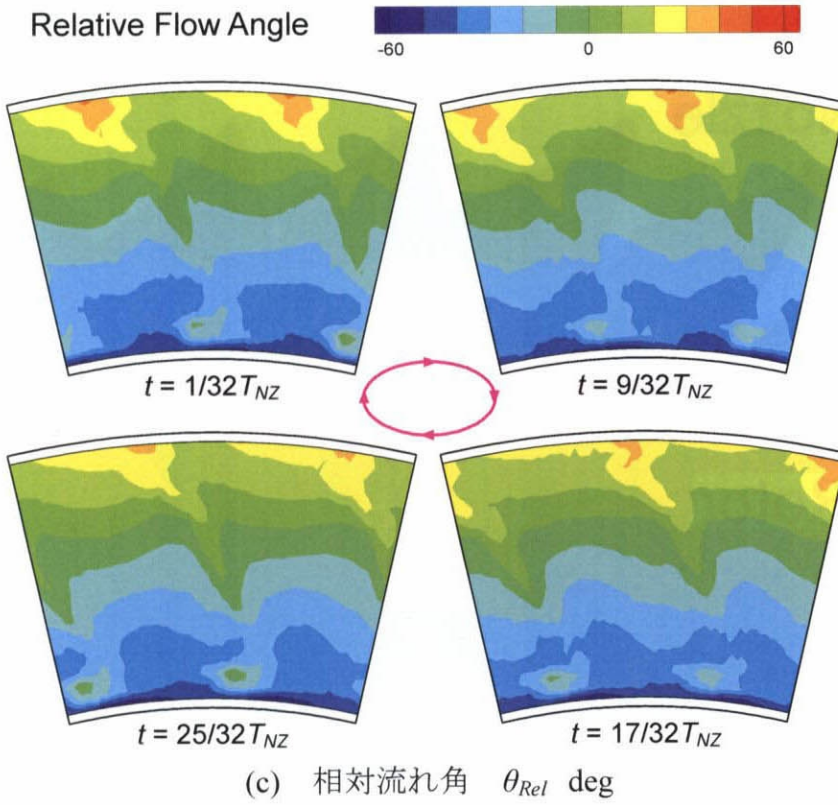
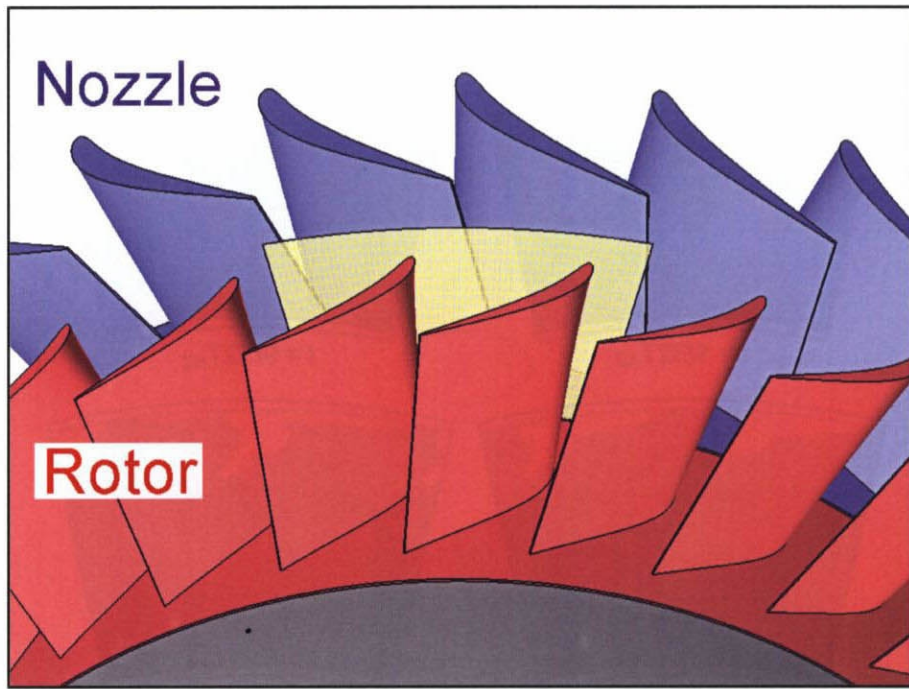
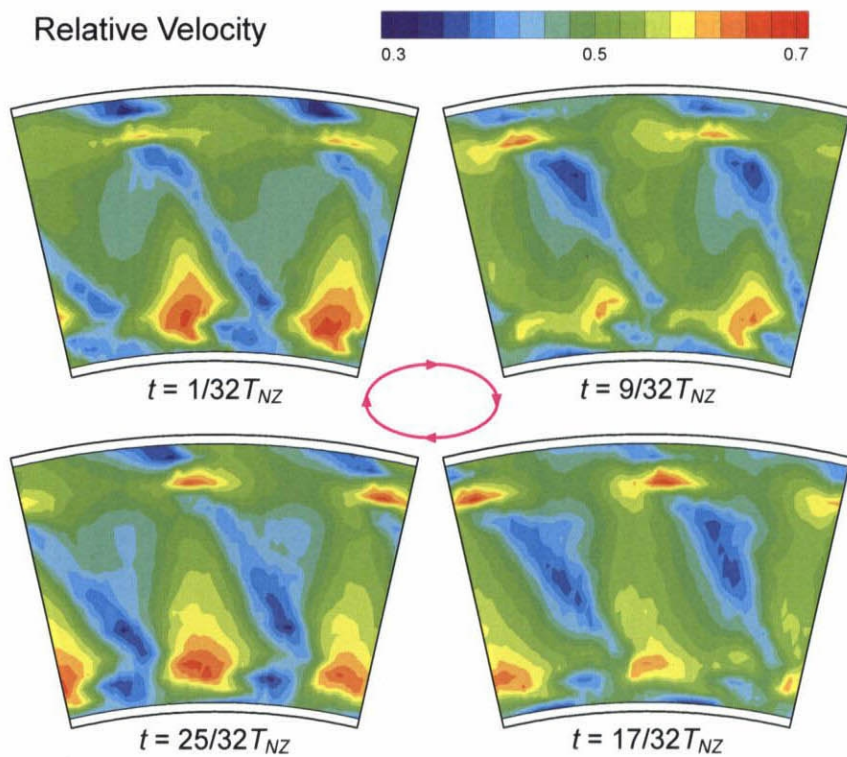


図 8.7 静翼出口，動翼入口の非定常流れ（相対座標系，その 2）  
（測定面 5，軸方向位置  $Z/C_{ax,RT} = -0.303$ ）





(a) 測定位置



(b) 相対速度  $V_{Rel}/V_6$

図 8.8 静翼出口，動翼入口の非定常流れ（相対座標系，その1）  
（測定面 7，軸方向位置  $Z/C_{ax,RT} = -0.205$ ）

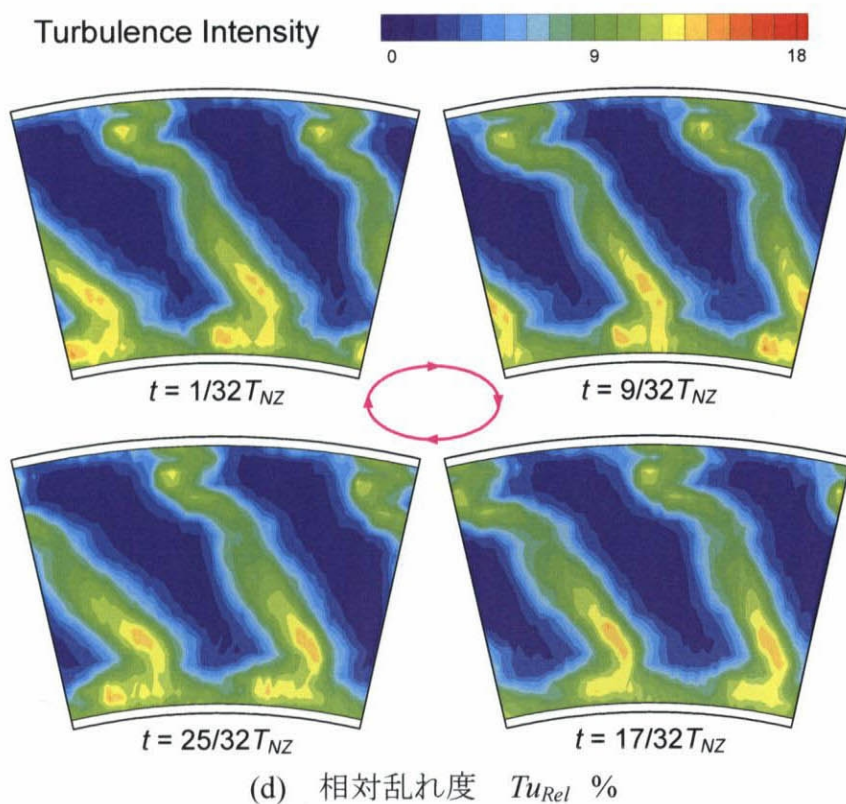
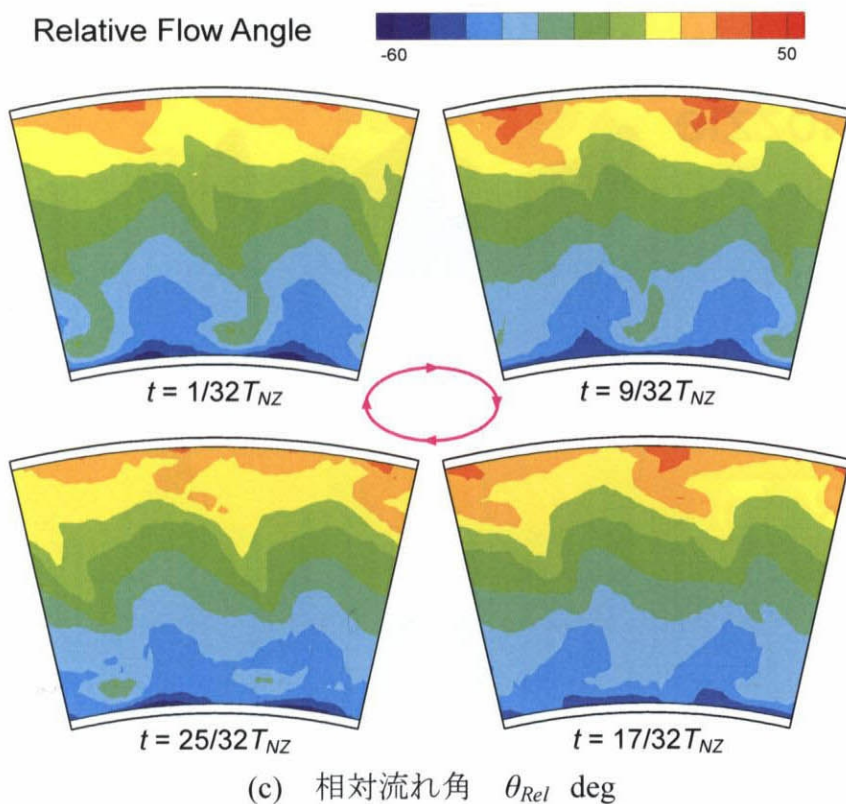
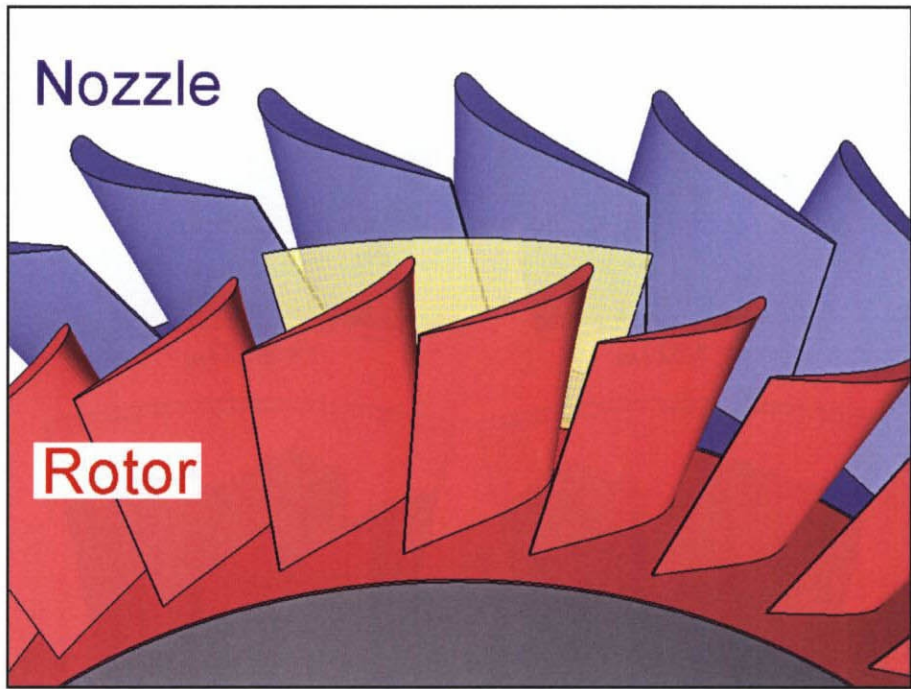
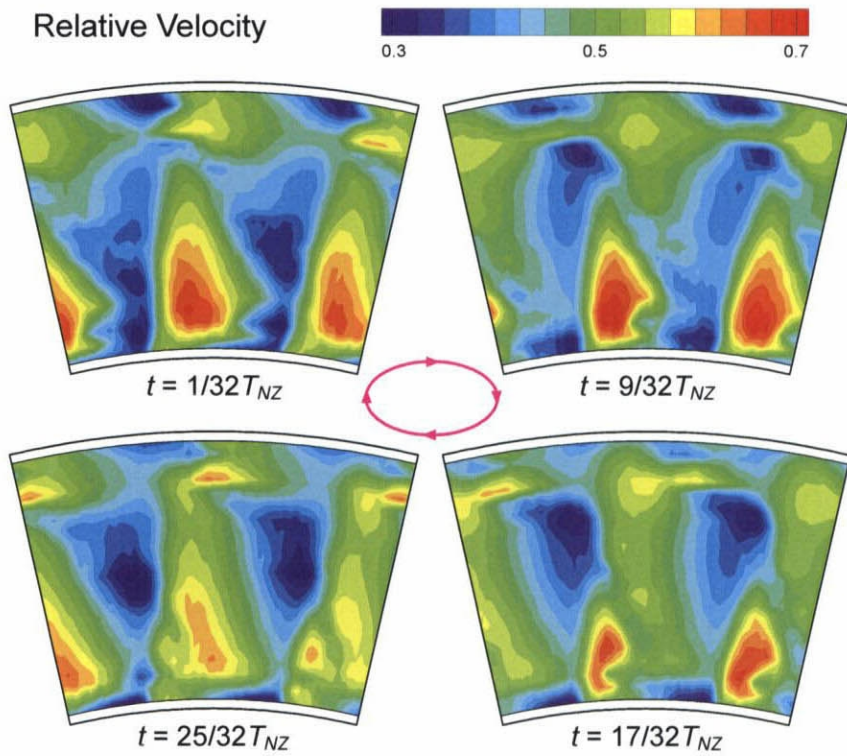


図 8.8 静翼出口，動翼入口の非定常流れ（相対座標系，その 2）  
 （測定面 7，軸方向位置  $Z/C_{ax,RT} = -0.205$ ）





(a) 測定位置



(b) 相対速度  $V_{Rel}/V_6$

図 8.9 静翼下流，動翼上流の非定常流れ（相対座標系，その 1）  
（測定面 9，軸方向位置  $Z/C_{ax,RT} = -0.108$ ）

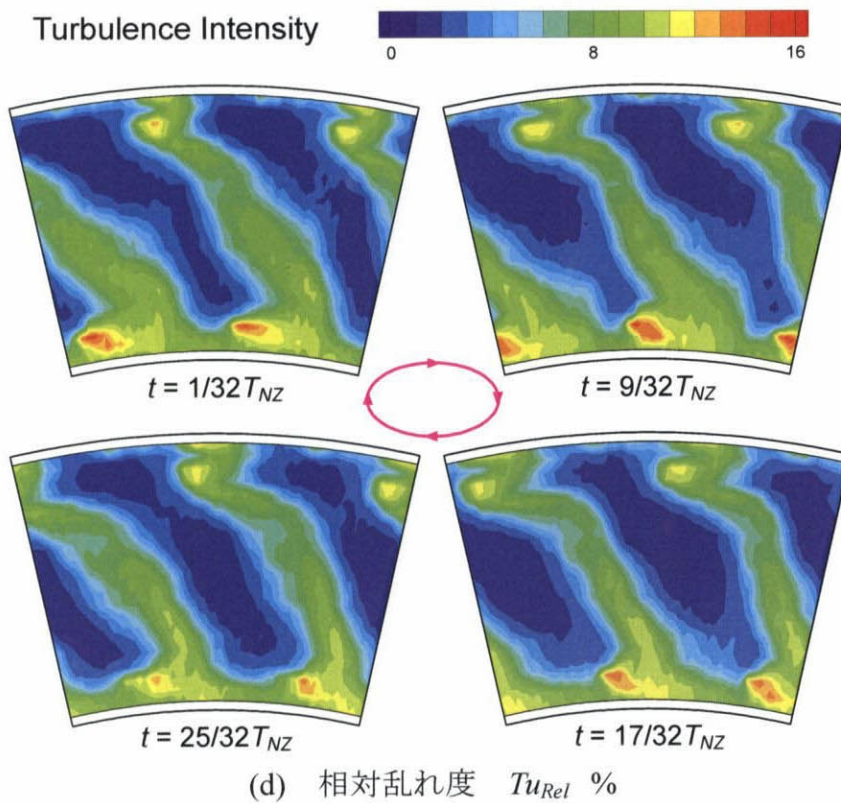
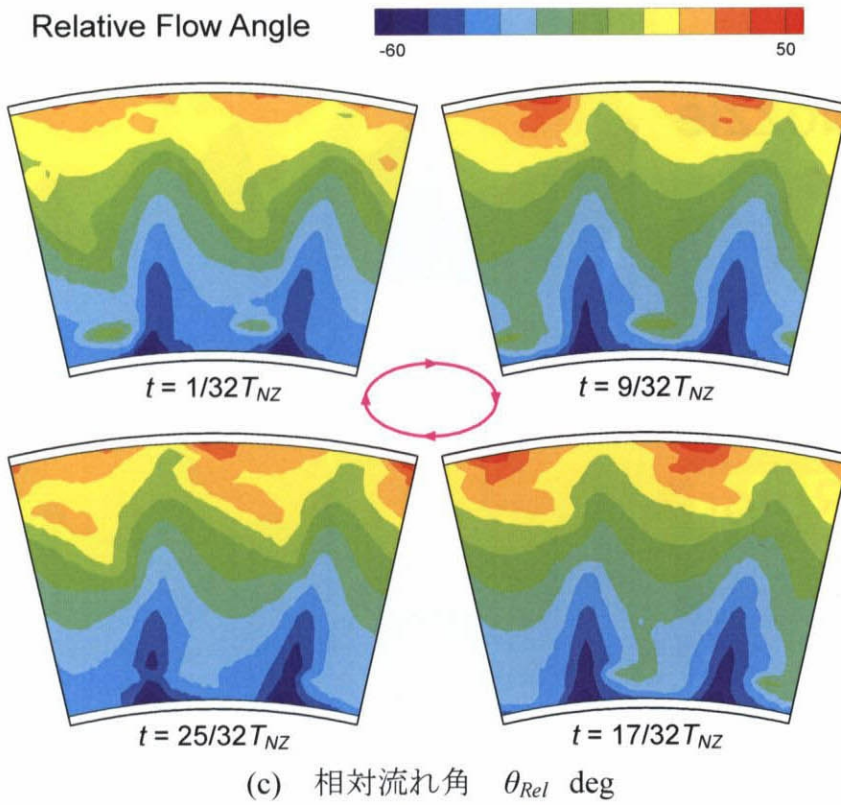
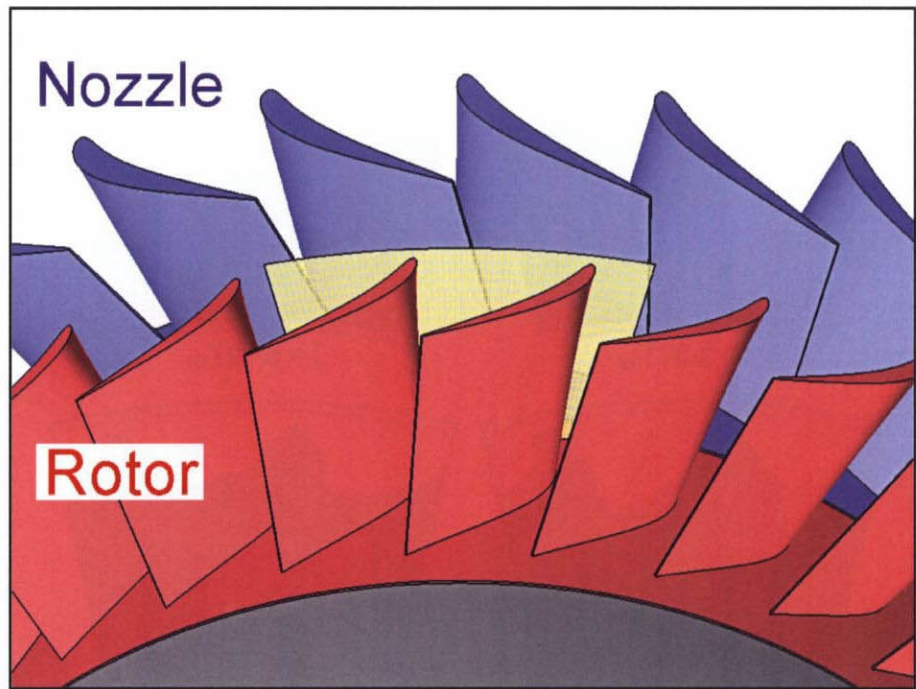


図 8.9 静翼下流，動翼上流の非定常流れ（相対座標系，その2）  
（測定面 9，軸方向位置  $Z/C_{ax,RT} = -0.108$ ）





(a) 測定位置

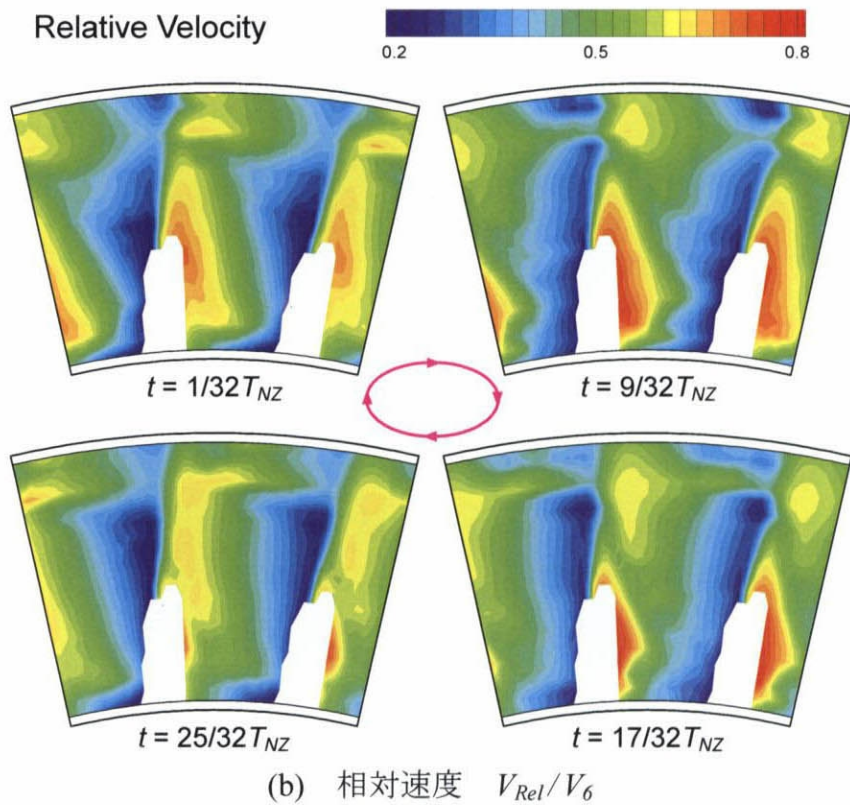


図 8.10 動翼入口の非定常流れ (相対座標系, その1)  
(測定面 11, 軸方向位置  $Z/C_{ax,RT} = -0.098$ )

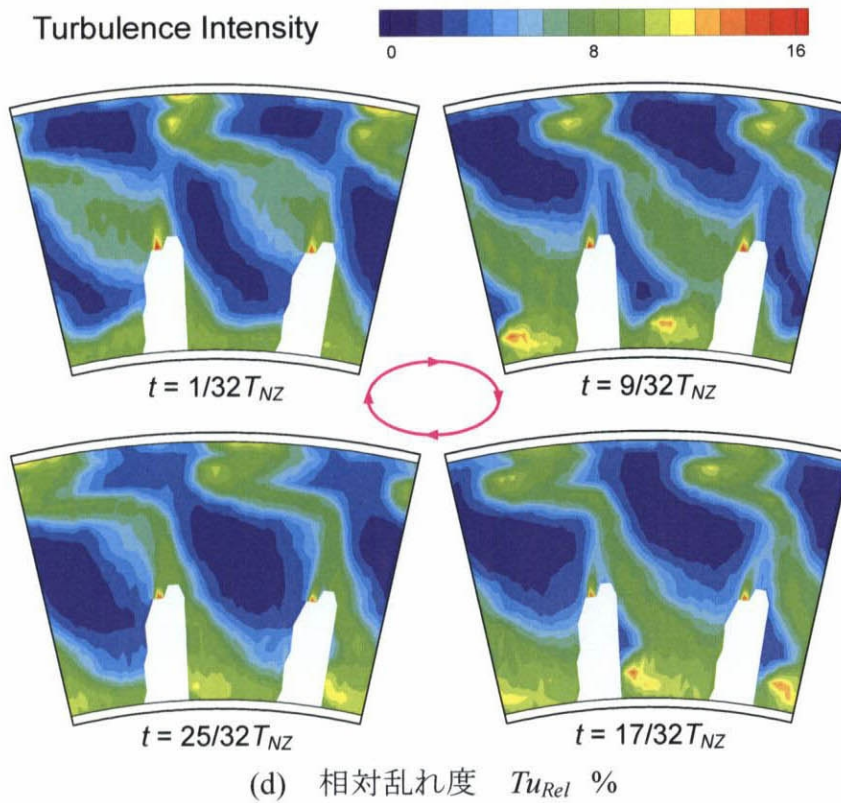
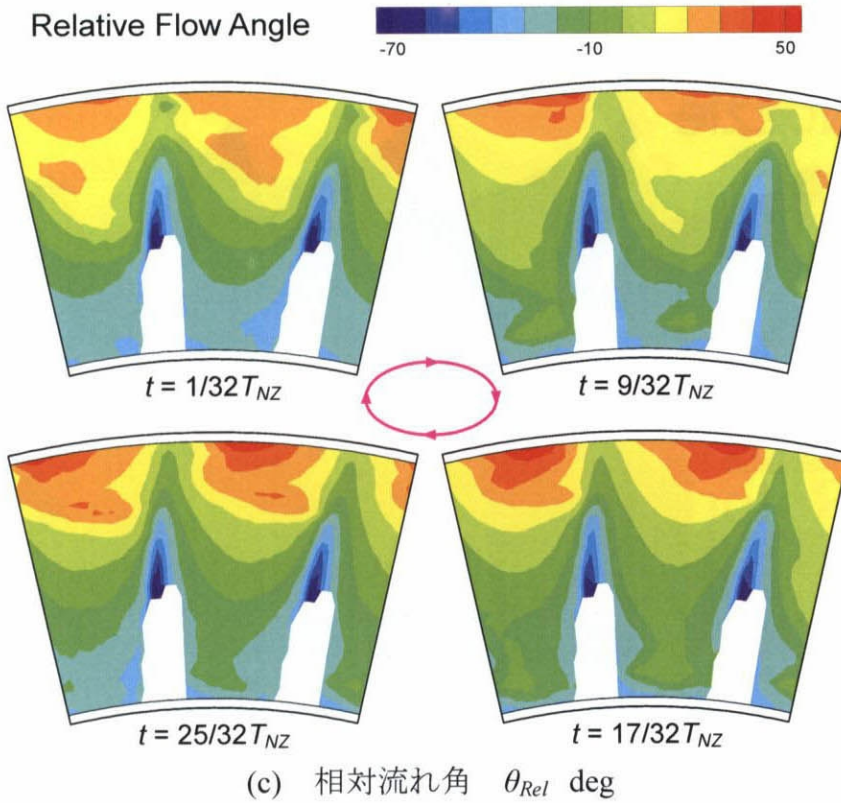
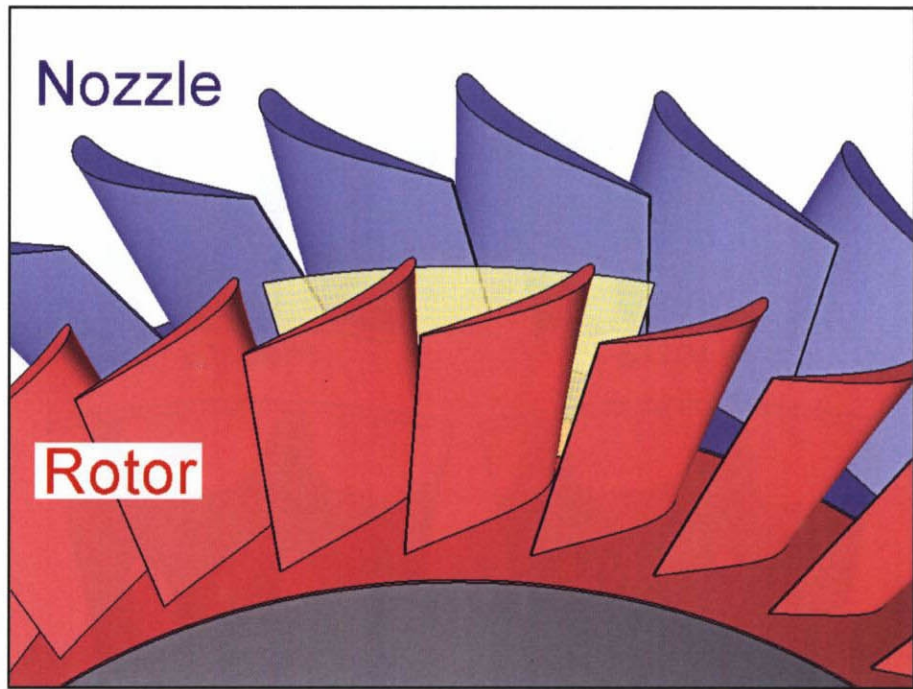
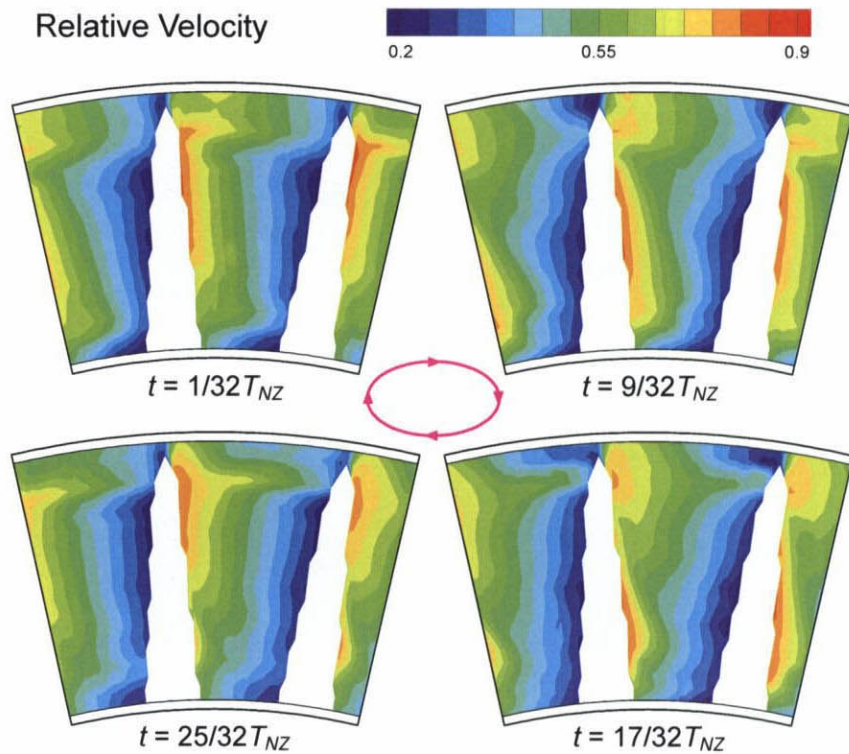


図 8.10 動翼入口の非定常流れ (相対座標系, その 2)  
(測定面 11, 軸方向位置  $Z/C_{ax,RT} = -0.098$ )





(a) 測定位置



(b) 相対速度  $V_{Rel}/V_0$

図 8.11 動翼内部の非定常流れ (相対座標系, その 1)  
(測定面 13, 軸方向位置  $Z/C_{ax,RT} = 0.088$ )

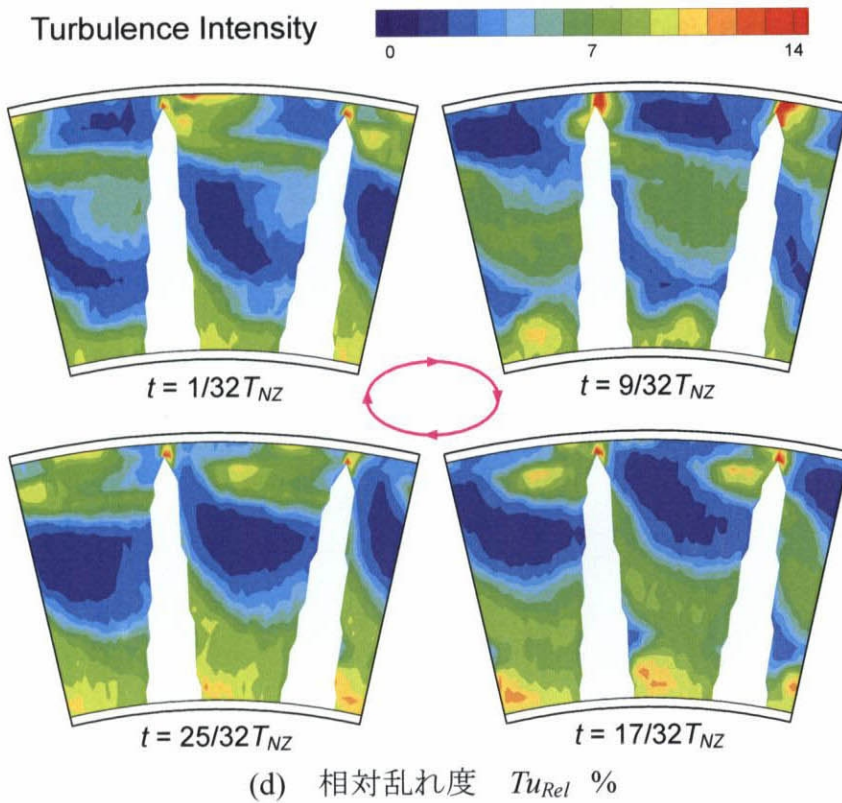
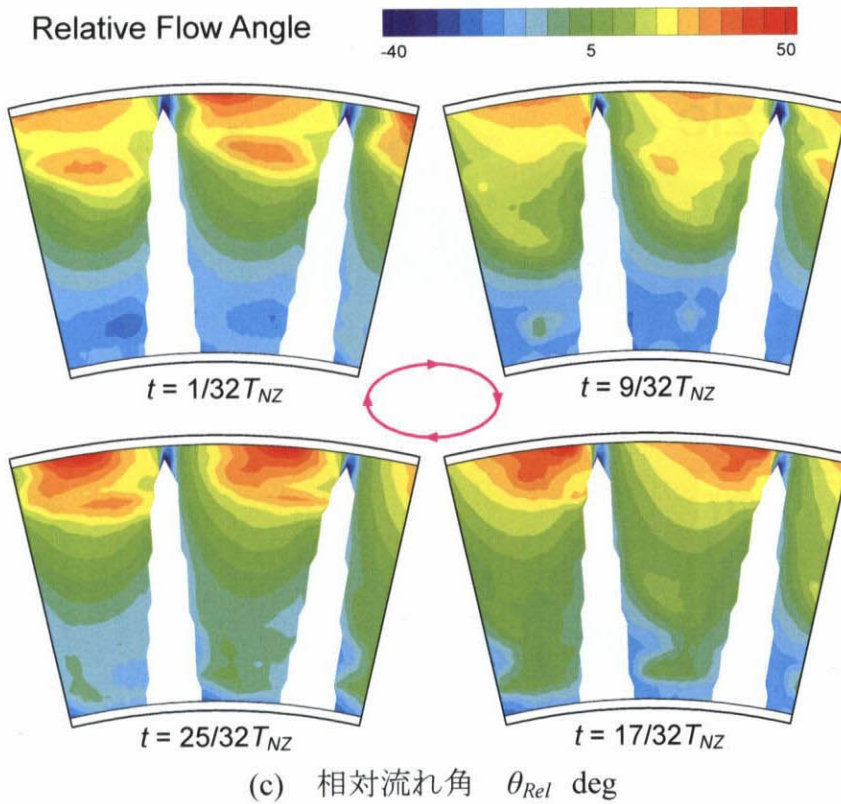
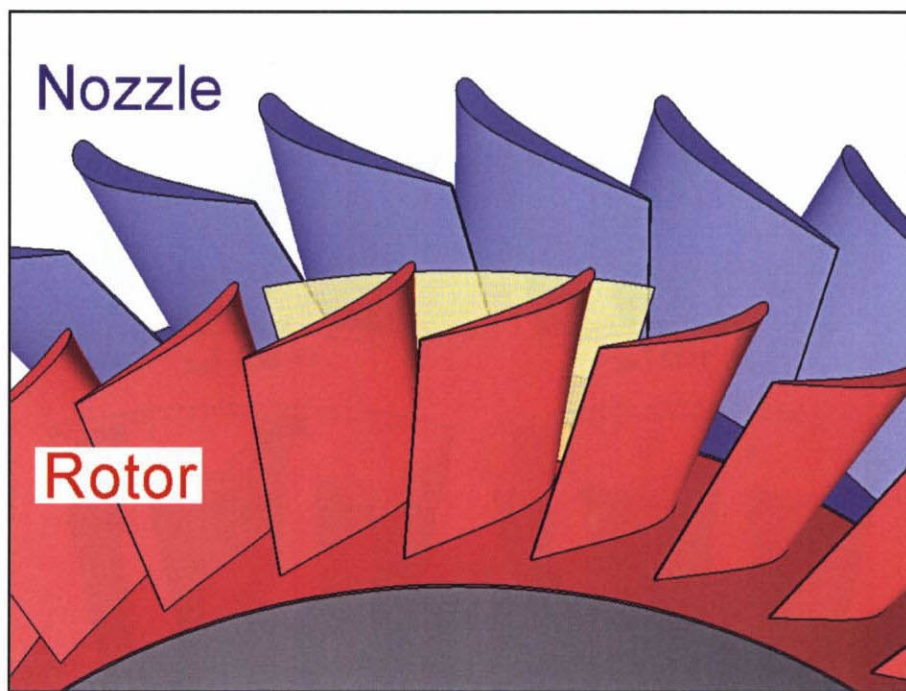
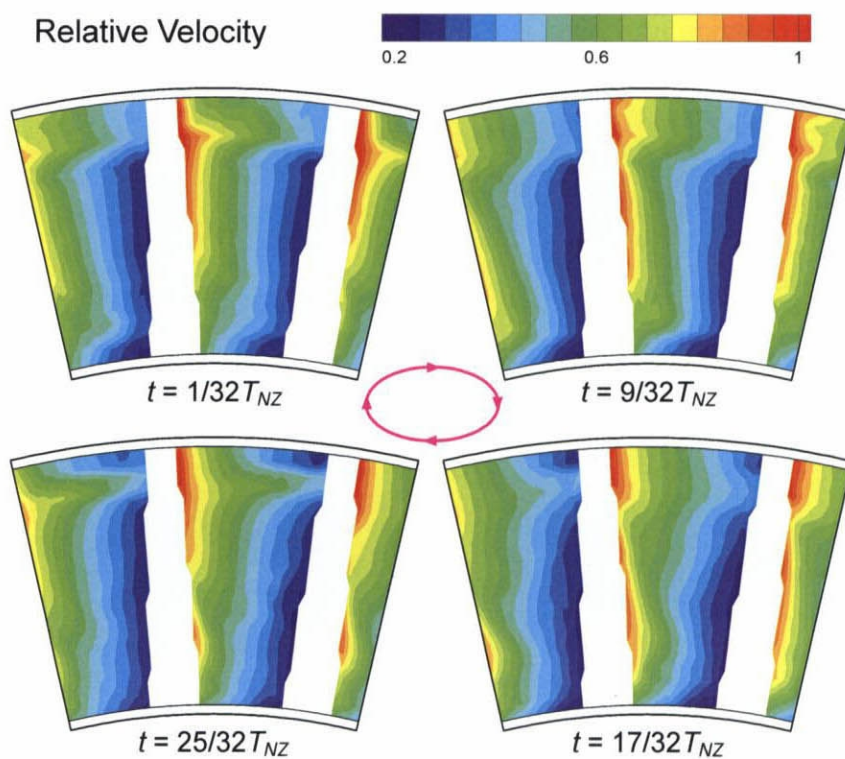


図 8.11 動翼内部の非定常流れ (相対座標系, その 2)  
(測定面 13, 軸方向位置  $Z/C_{ax,RT} = 0.088$ )





(a) 測定位置



(b) 相対速度  $V_{Rel}/V_6$

図 8.12 動翼内部の非定常流れ (相対座標系, その1)  
(測定面 15, 軸方向位置  $Z/C_{ax,RT}=0.186$ )

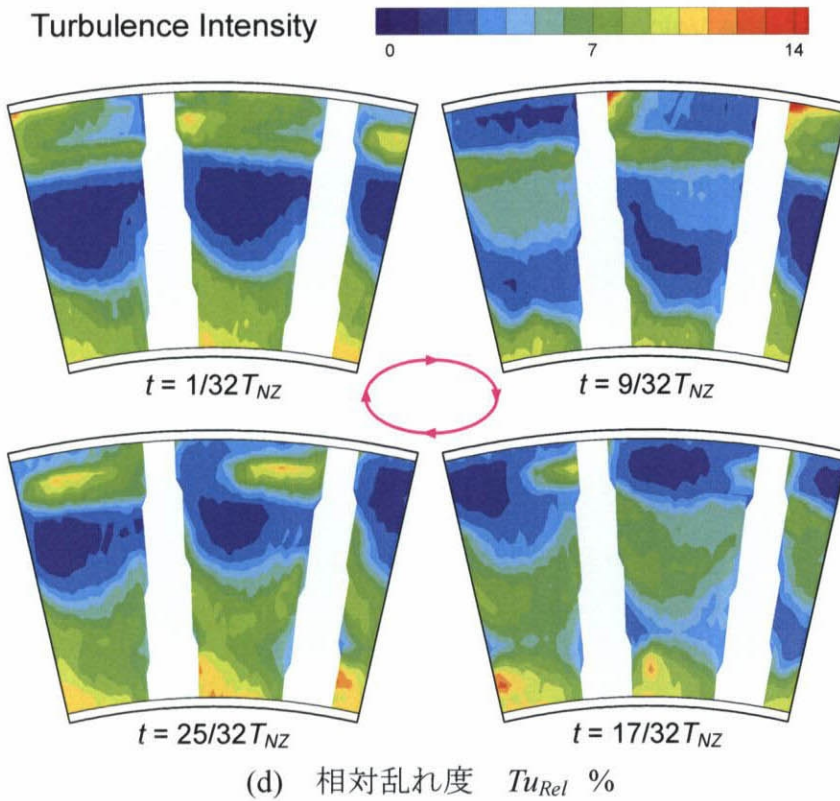
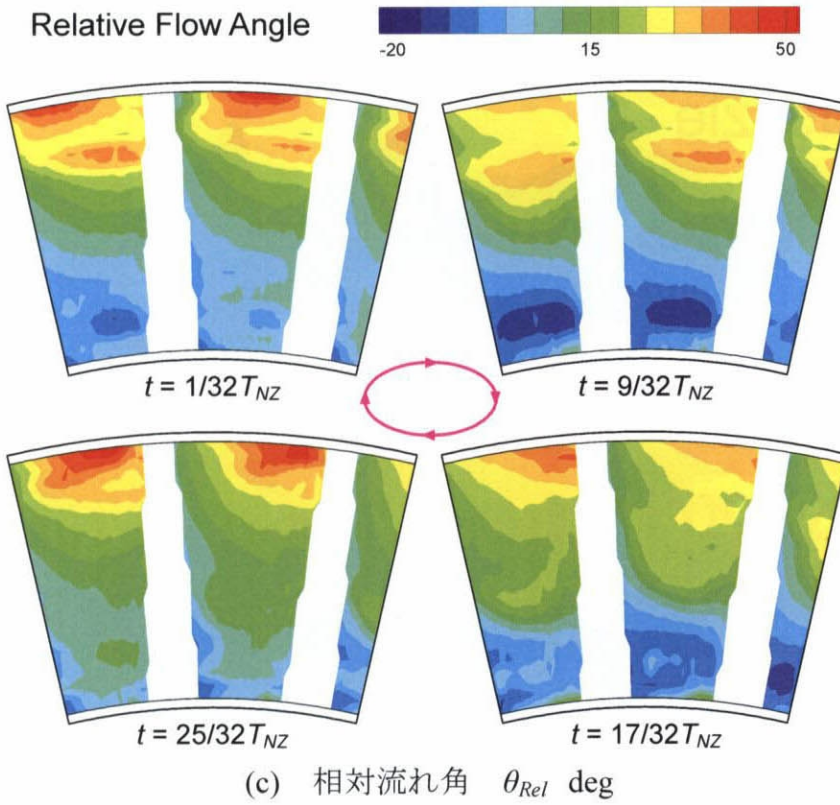
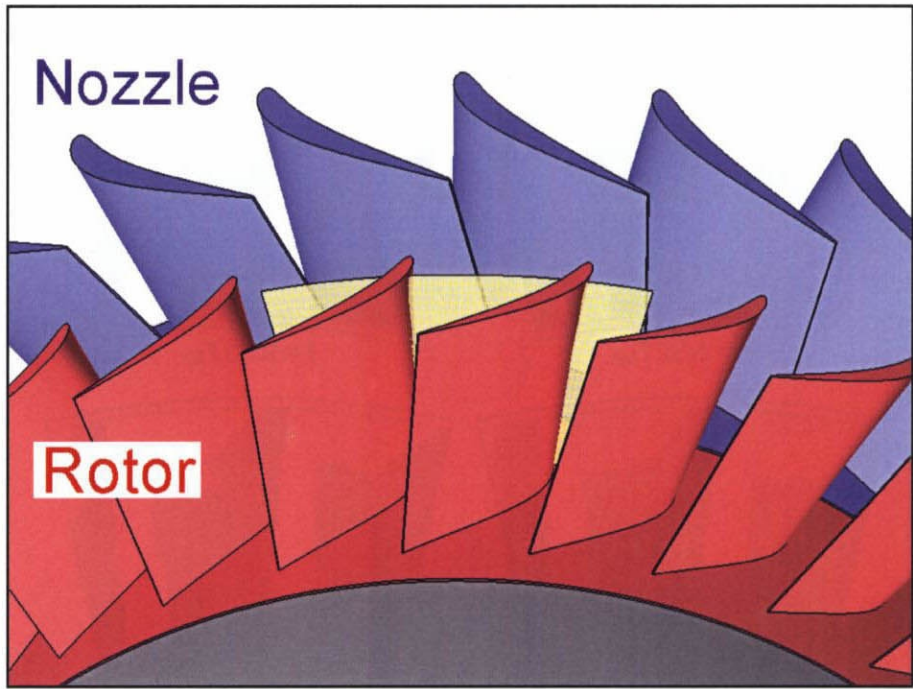
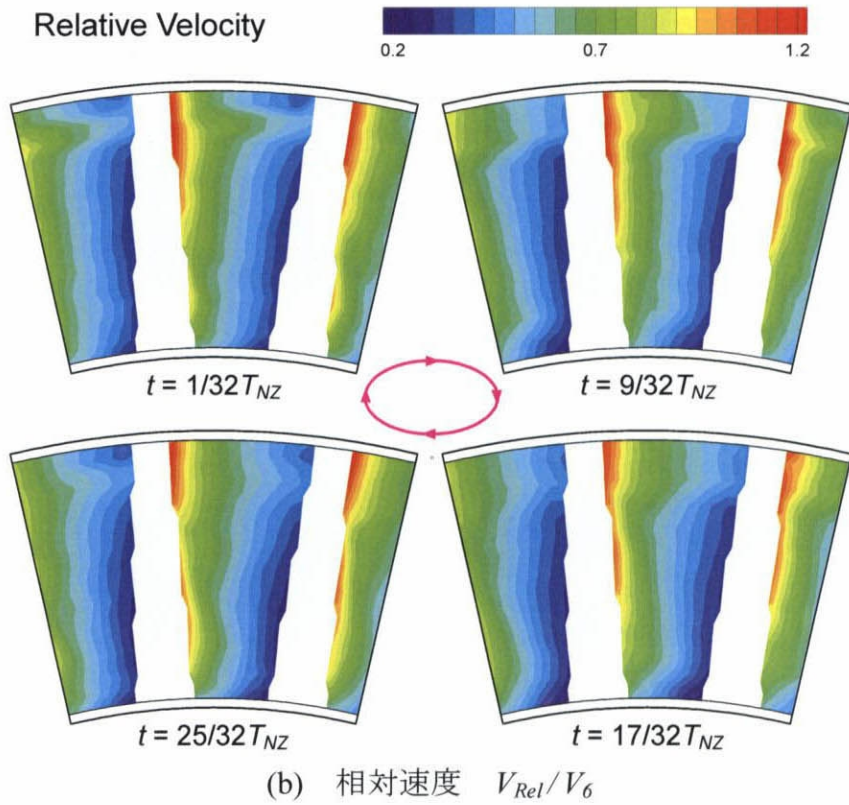


図 8.12 動翼入口の非定常流れ (相対座標系, その 2)  
(測定面 15, 軸方向位置  $Z/C_{ax,RT} = 0.186$ )





(a) 測定位置



(b) 相対速度  $V_{Rel}/V_6$

図 8.13 動翼内部の非定常流れ (相対座標系, その 1)  
(測定面 17, 軸方向位置  $Z/C_{ax,RT}=0.284$ )

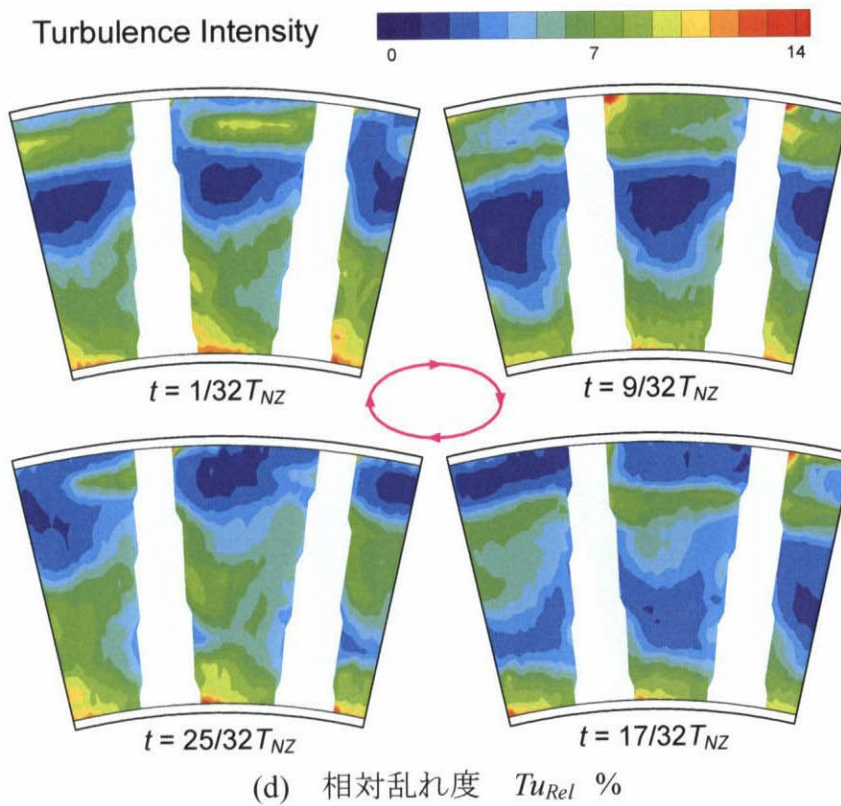
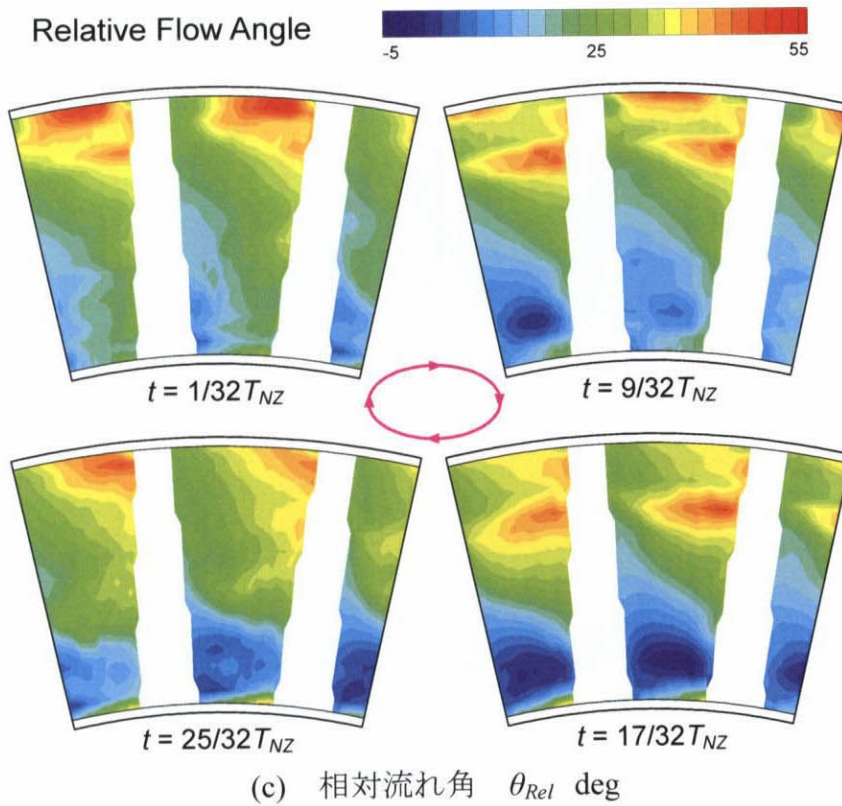


図 8.13 動翼内部の非定常流れ (相対座標系, その 2)  
(測定面 17, 軸方向位置  $Z/C_{ax,RT} = 0.284$ )